

Биологические дозы нейтронов, распространяющихся в воздушной среде, от точечных источников

П. А. ЯМПОЛЬСКИЙ, А. И. ХОВАНОВИЧ, В. Ф. КОКОВИХИН,
А. И. КУКАРИН, Н. А. КОНДУРУШКИН

В связи с возрастающим использованием источников нейтронов представляет интерес определение биологических доз нейтронов на различных расстояниях от источника в воздушной среде. Для этого необходимы данные о пространственно-энергетическом распределении нейтронов и зависимости биологической дозы от потока нейтронов различных энергий. Пространственно-энергетическое распределение нейтронов в воздухе описано в работе [1]. Известны также приближенные зависимости биологической дозы D_b от потока нейтронов различной энергии $P(E)$, однако в некоторых случаях (например, при оценке острых поражений) их необходимо уточнить. Принятые в настоящее время для практического использования соотношения между D_b и $P(E)$ [2] основаны на следующих предположениях: 1) поражение организма определяется максимальной поглощенной дозой; 2) относительная биологическая эффективность (ОБЭ) протонов и тяжелых ядер отдачи близка к 10 и 20 соответственно. Это можно считать справедливым при оценке отдаленных последствий облучения.

При авариях ядерных установок и в других случаях возможны кратковременные воздействия больших доз нейтронов. При этом важно правильно оценить возможные острые поражения, проявляющиеся в ранний период после облучения. Степень этих поражений определяется среднетканевой дозой. Кроме этого, величины ОБЭ протонов и тяжелых ядер отдачи, определенные по острым поражениям, значительно меньше, чем ОБЭ, оцененные по отдаленным последствиям.

В работе [3] рассчитано соотношение между среднетканевой биологической дозой $D_{ст,б}$ и $P(E)$ при использовании различных значений ОБЭ протонов и тяжелых ядер отдачи для нейтронов промежуточной энергии. Однако в этой работе не дается рекомендация, какой из приведенных величин ОБЭ следует пользоваться при расчетах, и не учитывается зависимость ОБЭ протонов и тяжелых ядер отдачи от энергии. Эту зависимость можно определить на основании данных работы [4], в которой приведены систематизированные значения ОБЭ нейтронов различной энергии, установленные по острым облучениям мышей. Ввиду малых размеров используемых объектов облучения можно считать, что энергия нейтронов передается ткани только в результате первого взаимодействия с ядрами атомов биологической ткани. Путем обработки данных, приведенных в работе [4], найдено, что суммарная ОБЭ протонов отдачи и тяжелых ядер отдачи равна

$$\eta_{я, о} = 0,9 + 2,65E_n^{-0,36} \quad (0,1 < E_n < 15 \text{ МэВ}),$$

где E_n — энергия нейтронов, МэВ.

Глубинное распределение биологической дозы в объектах больших размеров (слой ткани толщиной 30 см) может быть определено по соотношению

$$D_b(x) = D_\gamma(x) + D_{p'}(x) \eta_{p'} + [D_p(x) + D_{т. я}(x)] \eta_{эфф},$$

где $D_\gamma(x)$, $D_{p'}(x)$, $D_p(x)$, $D_{т. я}(x)$ — поглощенные дозы вторичного γ -излучения, протонов, возникающих при реакции $N^{16}(n, p)C^{14}$ ($E_p = 0,63 \text{ МэВ}$), протонов отдачи и тяжелых ядер отдачи соответственно. Числовые зна-

чения этих величин взяты из работ [5—7]; $\eta_{p'}$ — ОБЭ протонов с энергией 0,63 МэВ принималась равной 2. Величина $\eta_{эфф}$ оценивалась по формуле

$$\eta_{эфф} = \frac{\int N(E) E \eta_{я, о}(E) dE}{\int N(E) E dE},$$

где $N(E)$ — спектр нейтронов на глубине x . Значения $N(E)$ определялись по данным работы [8], в которой

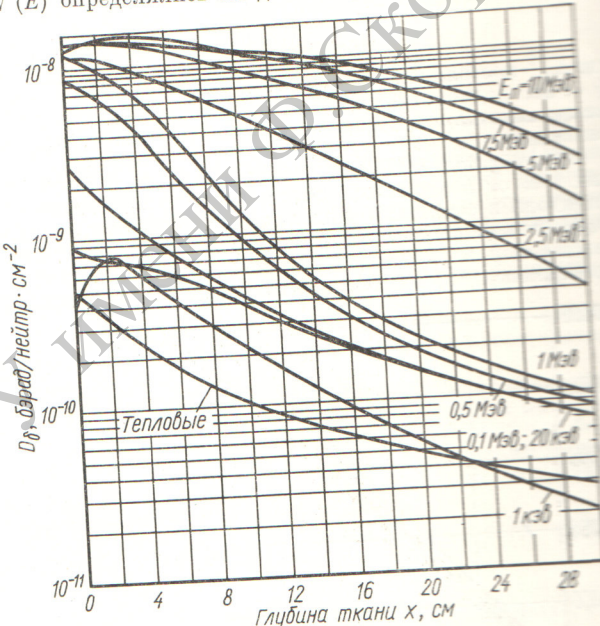


Рис. 1. Глубинное распределение биологической дозы в ткани для нейтронов с различной начальной энергией.

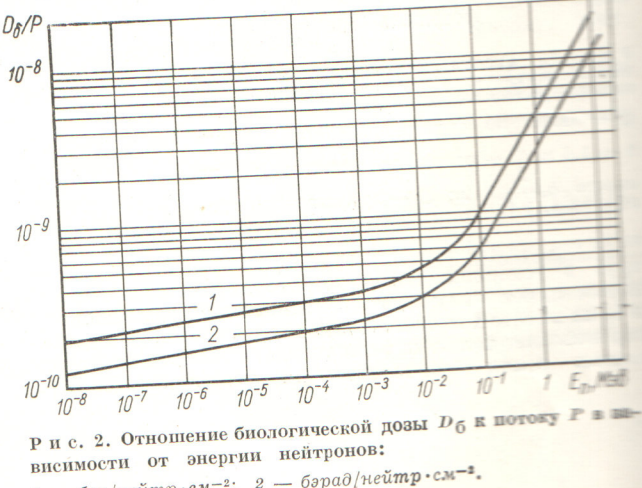
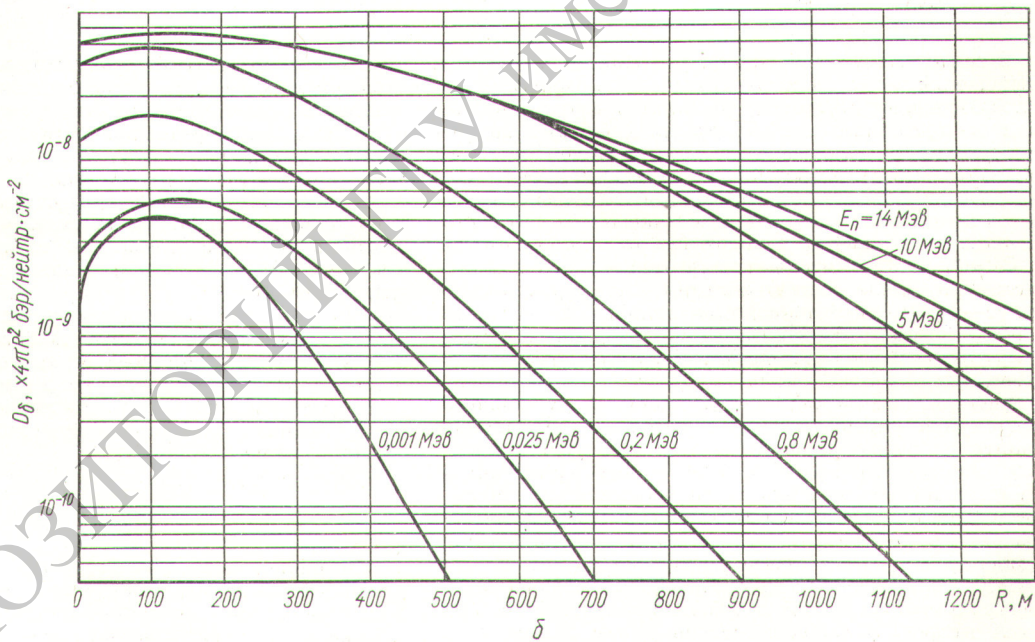
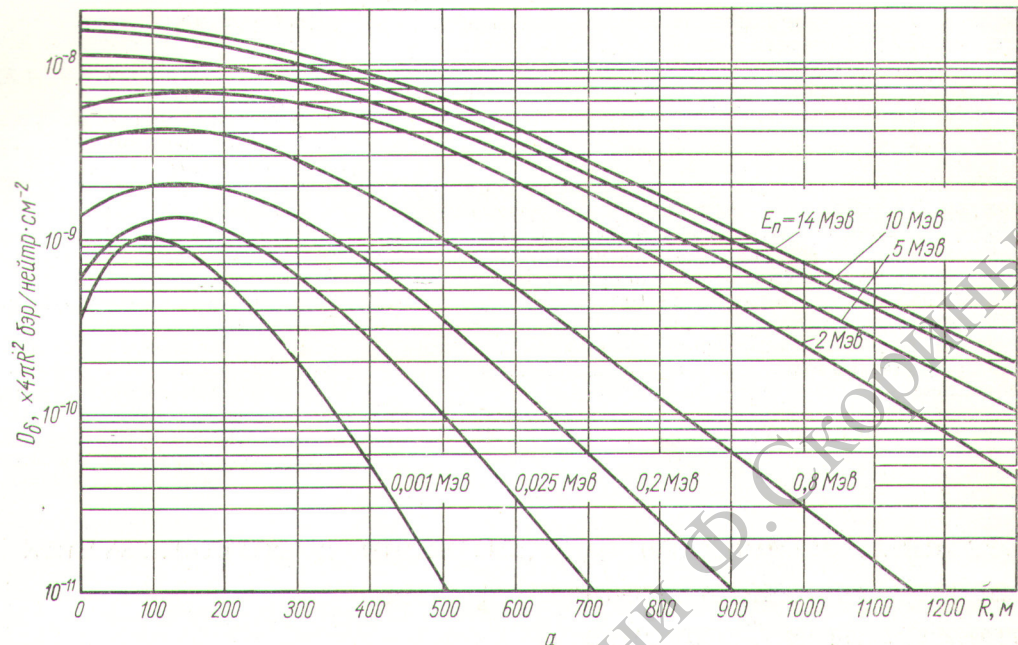


Рис. 2. Отношение биологической дозы D_b к потоку P в зависимости от энергии нейтронов:
1 — бэр/нейтр·см⁻²; 2 — бэрад/нейтр·см⁻².

Рис. 3. Зависимость биологической дозы от расстояния для точечных изотропных источников нейтронов в воздухе при $x = 30$ см:

a — острые последствия;
 b — отдаленные последствия.



приведены спектральные распределения нейтронов, имеющих различную начальную энергию в воде.

Глубинное распределение биологической дозы в ткани для нейтронов с различной начальной энергией приведено на рис. 1. Среднетканевую биологическую дозу находили по соотношению

$$D_{\text{ст. } b} = \frac{\int_0^{30} D_b(x) dx}{30}$$

До настоящего времени дозу γ -излучения в основном измеряют в рентгенах. В связи с этим наряду с биологическим эквивалентом рада (δ рад) применяется биологический эквивалент рентгена (δ р). Для определения соотношения между ними необходимо знать величину среднетканевой поглощенной дозы γ -излучения Co^{60} ($E_\gamma = 1,25$ МэВ), принимаемого за «стандарт» при экспозиционной дозе 1 р.

Среднетканевая доза γ -излучения может быть найдена по данным о прохождении γ -излучения через

слой воды [9]. Расчет показывает, что в слое воды толщиной 30 см при энергии γ -квантов 1,25 МэВ поглощается примерно 57% энергии падающего излучения. Следовательно, при экспозиционной дозе 1 р поглощается энергия $1,9 \cdot 10^3$ эрг/см, что соответствует 0,63 бэрад.

На рис. 2 приведена зависимость $\frac{D_b}{P} = f(E)$ в бэрад/нейтрон·см⁻² и бэр/нейтрон·см⁻². На основании данных рис. 2 и работы [1] рассчитаны биологические дозы нейтронов, выраженные в бэрах и бэродах, в отношении острых последствий для точечных источников изотропного излучения в бесконечной воздушной среде нормальной плотности ($\rho = 1,29 \cdot 10^{-3}$ г²/см³).

Зависимость дозы от расстояния излучения приведена на рис. 3, а. Аналогичная зависимость, полученная на основании существующих правил радиационной безопасности [2], приведена на рис. 3, б.

Поступило в Редакцию 24/XI 1966 г.

Сезонные изменения концентрации короткоживущих продуктов распада радона в приземном слое атмосферы в Ташкенте

А. Э. ШЕМЬИ-ЗАДЕ

В зависимости от погодных условий меняются как интенсивность эксхаляции эманаций из почвы, так и условия концентрирования дочерних продуктов их распада в приземном слое атмосферы. Поэтому в различных районах земного шара средняя величина удельной активности воздуха должна изменяться в тех или иных пределах; кроме того, распределение годичных экстремумов может иметь характерные особенности для определенных областей (в зависимости от микроклимата).

Сезонный ход уровня естественной удельной активности приземного слоя атмосферы рассмотрен в работах [1—6]. По опубликованным данным, концентрация короткоживущих продуктов распада эманаций в течение года несколько раз достигает минимальных и максимальных значений. Подобный годичный ход удельной активности атмосферы, когда кроме двух главных экстремумов отмечаются и побочные, назовем немонотонным. Сезонные вариации содержания радона в воздухе трудно объяснить одними только изменениями турбулентности атмосферы и эксхаляционной способности почвы. Следует отметить, что все пункты, обследованные в работе [5], находятся вблизи побережья и даже на островах. Можно предположить, что в этих случаях на годичный ход концентрации радона и его дочерних продуктов влияет сезонное изменение направлений ветров, дующих с материка или с акватории [7, 8]. Что касается данных, приведенных в работе [6], то здесь играет существенную роль повышенная удельная активность горных пород тех районов Альп, над которыми проходят ветры, господствующие в тот или иной сезон [7].

Немонотонность сезонного хода уровня радоновой активности, отмеченная в работах [1—4], частично обусловлена прохождением воздушных масс морского или континентального происхождения. Однако, в работе [3] утверждается, что этот фактор не влияет на уровень радоновой активности. Это позволяет предполо-

ЛИТЕРАТУРА

- П. А. Ямпольский и др. «Атомная энергия», 21, 262 (1966).
- А. А. Моисеев, В. И. Иванов. Краткий справочник по радиационной защите и дозиметрии. М., Атомиздат, 1964.
- А. Г. Истомина, И. Б. Керим-Маркус. «Атомная энергия», 8, 239 (1960).
- J. Bateman et al. Rationation Res., 15, 694 (1961).
- W. Snyder, J. Neufeld. ORNL-RR-DW, 11546, 1964.
- П. А. Ямпольский и др. «Атомная энергия», 7, 351 (1959).
- W. Snyder, J. Neufeld. Brit. J. Radial., 28, 342 (1955).
- Г. Гольдштейн. Основы защиты реакторов. М., Госатомиздат, 1961.
- У. Фапо, Л. Спенсер, М. Бергер. Перенос гамма-излучения. М., Госатомиздат, 1963.

УДК 551.577.7

жить, что существует дополнительный фактор, который может влиять на концентрацию продуктов распада радона в приземном слое атмосферы.

Исследование удельной активности приземного воздуха в Ташкенте проводится с мая 1959 г. Концентрации дочерних продуктов радона в контролируемом воздухе определялись посредством измерения проб, отобранных на фильтры из ткани ФПП-15. Для регистрации β -частиц применяли торцовую гейтеровский счетчики МСТ-17, калибранные при помощи препарата Sr⁹⁰—Y⁹⁰.

По скорости распада дочерних продуктов эманаций, собранных на фильтре, можно рассчитать активность единицы объема исследуемого воздуха. Если q — скорость накопления радиоактивных ядер на фильтре за время аспирации t_1 , то их количество N на фильтре к моменту t_2 — начала измерения пробы определяется соотношением

$$N = \frac{q}{\lambda_{\text{эфф}}} [1 - \exp(-\lambda_{\text{эфф}} t_1)] \exp(-\lambda_{\text{эфф}} t_2), \quad (1)$$

где $\lambda_{\text{эфф}} = 0,02 \text{ мин}^{-1}$.

Очевидно, что $q = Cv_0$, где C — концентрация радиоактивных ядер в воздухе; v_0 — скорость аспирации, приведенная к нормальным условиям. Так как удельная активность воздуха $A = \lambda_{\text{эфф}} C$, то, используя формулу (1), получим

$$A = \frac{N \lambda_{\text{эфф}}^2 \exp(\lambda_{\text{эфф}} t_2)}{v_0 [1 - \exp(-\lambda_{\text{эфф}} t_1)]}. \quad (2)$$

В этой формуле все величины, кроме N , могут быть определены экспериментально. Если ΔN — число распадов, произошедших за время радиометрического измерения t_3 , то

$$N = \frac{\Delta N}{1 - \exp(-\lambda_{\text{эфф}} t_3)}. \quad$$